

La transformée de Fourier en algorithmique : discrète et efficace

Jean-Louis Roch
Grenoble-INP,
LIG / INRIA, Grenoble, France

"Once the [FFT] method was established, it became clear that it had a long and interesting prehistory going back as far as Gauss. But until the advent of computing machines it was a solution looking for a problem."

T. W. Körner, Fourier Analysis (1988)

Quelques applications de la transformée de Fourier discrète

"Life as we know it would be very different without the FFT. » *Charles Van Loan*

- Traitement du signal: équivalent logiciel d'un analyseur de spectre
- Son et images numériques: Analyse et filtrage
 - synthèse sonore.
 - déterminer la fréquence d'une note dans une musique enregistrée, identifier des oiseaux, ...
 - images numériques
- Applications scientifiques ou statistiques
 - analyse des informations sismographiques,
 - fluctuations dans les prix du marché, les populations animales, analyse des séquences ADN
- Communication numérique :
 - Sécurité: intégrité, confidentialité
- Outil de base en informatique: « Compter efficacement »

« The Top 10 Algorithms of the 20th »

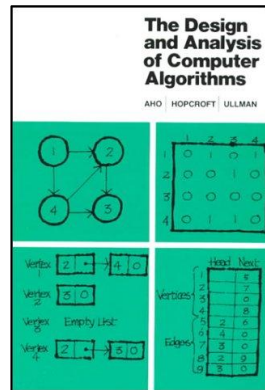
[J. Dongarra, F. Sullivan editors, Computing in Science and Engineering, Jan./Feb. 2000]

[Science page 799, February 4, 2000]

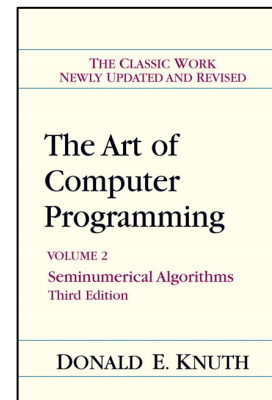
- 1946: The Metropolis Algorithm for Monte Carlo.
- 1947: Simplex Method for Linear Programming.
- 1950: Krylov Subspace Iteration Method.
- 1951: The Decompositional Approach to Matrix Computations.
- 1957: The Fortran Optimizing Compiler.
- 1959: QR Algorithm for Computing Eigenvalues.
- 1962: Quicksort Algorithms for Sorting.
- **1965: Fast Fourier Transform.** « *An algorithm the whole family can use* »
 - « (...) *the most ubiquitous algorithm in use today to analyze and manipulate digital or discrete data. The FFT takes the operation count for discrete Fourier transform from $O(N^2)$ to $O(N \log N)$.* »
- 1977: Integer Relation Detection.
- 1987: Fast Multipole Method.

La transformée de Fourier en algorithmique

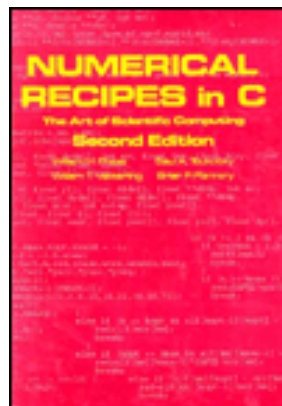
- Algorithmique: maîtriser le coût = la complexité
 - espace mémoire, nombre d'opérations, temps parallèle, défauts de cache, $\text{surface} \times \text{temps}^2$, ...



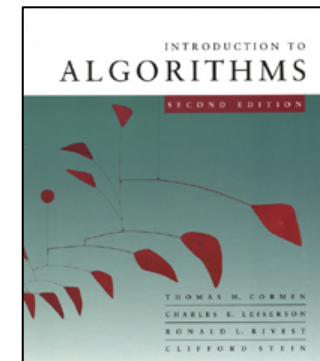
2nd ed. 1974
Chap. 7.
The Fast Fourier Transform
And its Applications



3rd ed. 1997
Section 4.3.3.C:
Discrete Fourier
transforms



2nd ed. 1992
Chap. 12.
Fast Fourier Transform

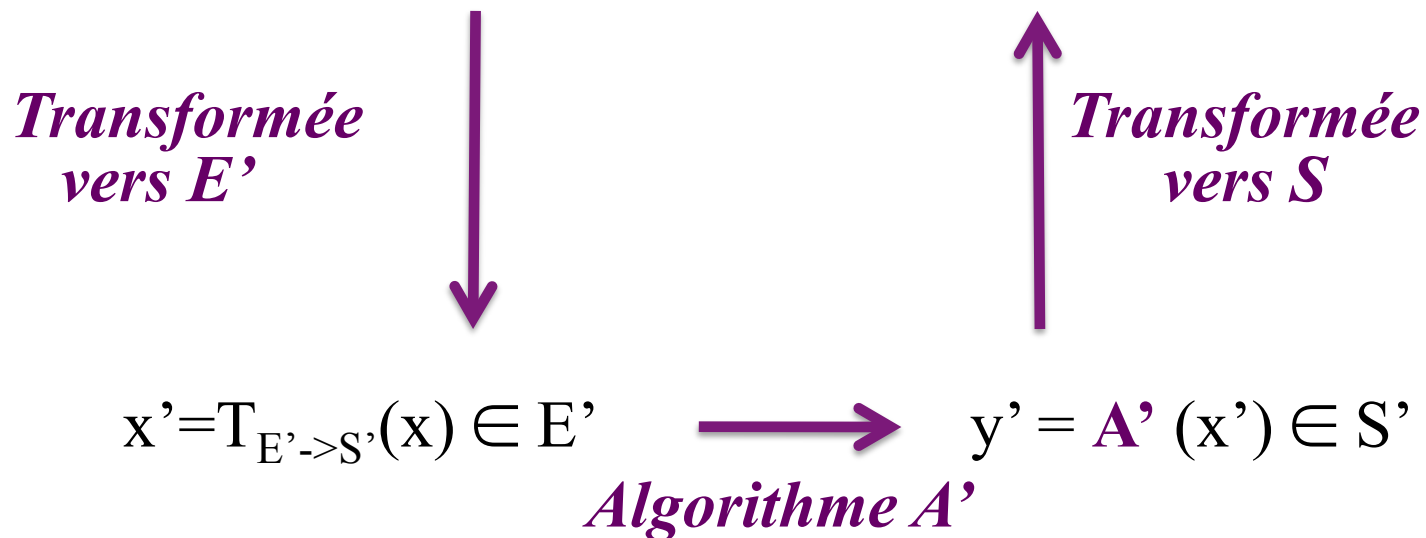


2nd ed. 2002
Chap. 30.
Polynomials and the FFT

Conception d'algorithmes

- Pour améliorer le coût, trouver une bonne représentation :

Problème Q: entrée $x \in E$ \rightarrow sortie $y \in S$ ($x \mathcal{R}_Q y$)



- Objectif : améliorer le coût
 - coûts transformée(x') + cout $A'(x')$ + coût transformée inverse(y')

Exemple: multiplier deux entiers

- **Entrée:** a , un entier **Sortie:** $a^2 = a \times a$
(la multiplication se réduit au carré: $(a \times b) = [(a + b)^2 - (a - b)^2] / 4$)
- **Algorithmes et représentations d'un entier « a »**
 - **unaire:** « 1...1 »_[a fois]
 - Multiplication en $O(a)$ opérations
 - **en base 10 (ou 2^{64}):** « $[a_{n-1} \dots a_0]$ »
 - Multiplication « classique » en $O(\log^2 a)$ opérations = $O(n^2)$
ou « diviser pour régner » en $O(\log^{1+\varepsilon} a)$ = $O(n^{1+\varepsilon})$
 - **modulaire:** « $[a \bmod p_1, \dots, a \bmod p_n]$ » = $O(n)$
 - Multiplication composante par composante en $O(\log a)$ « temps réel »
 - Mais taille limitée; et coûts transformation et comparaison
- Complexité pratique [Logiciel GNU Multiple-Precision GMP, ...]
- et aussi théorique :
 - « Meilleur » minorant du nombre d'opérations = $n \cdot \log_2 n$
 - Meilleur majorant connu [Fürer, 2007] = $n \cdot \log_2 n \cdot 2^{O(\log^* a)}$

Plan de l'exposé

I. DFT et FFT

II. Améliorations algorithmiques de la DFT

III. Améliorations algorithmiques reposant sur la DFT

Transformée de Fourier discrète (DFT)

Soit $(A, +, \times, 0, 1)$ un anneau commutatif tel que

- $n = 1 + \dots + 1$ (n fois) est inversible, d'inverse n^{-1} ,
- il existe dans A un élément ω qui est une racine n -ième primitive de l'unité:

$$\omega^0 = \omega^n = 1 \quad \text{et} \quad \text{pour } 0 < j < n : \omega^j \neq 1.$$

Définition : Soit $u = [u_0, \dots, u_{n-1}]$ un vecteur de A^n .

La transformée de Fourier discrète \hat{u} de u par rapport à ω est

$$\mathbf{DFT}_\omega(u) = \hat{u} = [\hat{u}_0, \dots, \hat{u}_{n-1}] \text{ avec } \hat{u}_j = \sum_{0 \leq k < n} u_k \cdot \omega^{k \cdot j}.$$

Remarques:

- La valeur de chaque \hat{u}_k dépend des n entrées u_0, \dots, u_{n-1}
- « *Transformée* » car \mathbf{DFT}_ω est inversible :

$$\mathbf{DFT}_\omega(u) = \hat{u} \quad \Leftrightarrow \quad u = n^{-1} \cdot \mathbf{DFT}_{\omega^{-1}}(\hat{u})$$

« *transformée de Fourier inverse* »

DFT, une transformée pour les convolutions

- Définition: convolution $u * v$ de deux vecteurs u et v de A^n

$$(u * v)_j = \sum_{0 \leq k < j} u_k \cdot v_{j-k}$$

- Propriété :

$$\text{DFT}(u * v) = \text{DFT}(u) \cdot \text{DFT}(v)$$

- Coût des algorithmes naïfs de convolution :
 - Domaine temps : n^2 multiplications dans A
 - Domaine fréquences : n multiplications dans A !

DFT et calcul « continu » (flottants)

- Dans \mathbb{C} = corps des nombres complexes: $\omega = e^{-2i\pi/n}$

- Exemple: DFT sur n = 100 points

Pour j=0 .. n-1

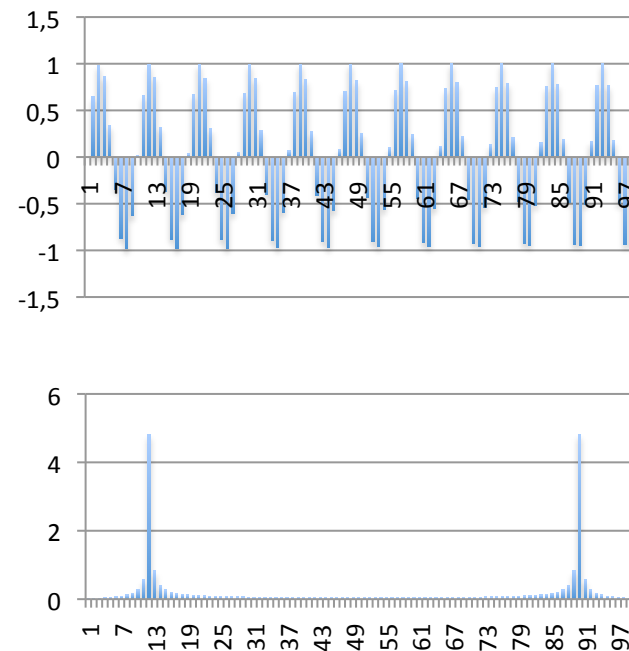
t = i. 10⁻⁵ s

$$u_j = \sin(0,7 j)$$



Pour j=0 .. n-1

$$\hat{u}_j = \sum_{0 \leq k < n} u_k \cdot \omega^{k \cdot j}$$



- Remarque:
 - transformée de Fourier continue (transformée en cosinus)

$$\mathcal{F}(f) : \nu \mapsto \hat{f}(\nu) = \int_{-\infty}^{+\infty} f(t) e^{-i2\pi\nu t} dt$$

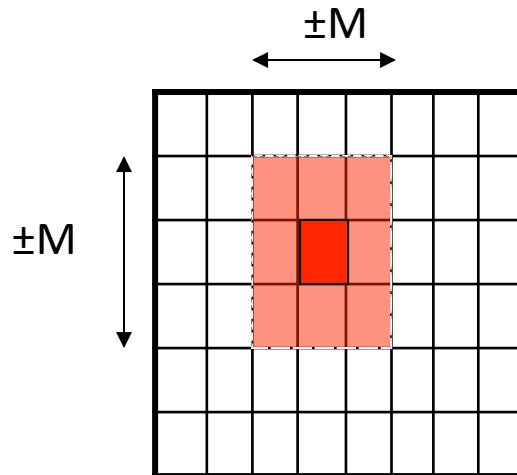


Illustration : Filtrage d'images

- Donnée: image= $f(x,y)$ (x,y) =pixel
- Filtrer \Leftrightarrow chaque pixel = somme pondérée de ses voisins

$$g(x,y) = \sum_{-M \leq i \leq M} \sum_{-M \leq j \leq M} h(i,j) \cdot f(x+i, y+j)$$

- Interprétation géométrique



filtre

Coût calcul naïf: $O(M^2)$ par pixel
 $\Rightarrow O(M^2N^2)=O(N^4)$ par image $N \times N$

Filtrage d'images par DFT

- On définit la transformée de Fourier bi-dimensionnelle ($N=2M$) de l'image f :

$$\hat{f}(u,v) = DFT(f)(u,v) = \sum_{-M \leq k \leq M} \sum_{-M \leq l \leq M} f(k,l) \cdot e^{-2i\pi/n (k.u + l.v)}$$

- Idem pour le filtre : $\hat{h} = DFT(h)$ et l'image filtrée $\hat{g} = DFT(g)$.
On a alors :

$$\hat{g}(u,v) = \hat{h}(u,v) \cdot \hat{f}(u,v)$$

- Algorithme

- 1. $\hat{f} := DFT(f)$
- 2. $\hat{g}(u,v) := \hat{h}(u,v) \cdot \hat{f}(u,v)$ pour tout u,v : $O(N^2)$
- 3. $g := DFT^{-1}(\hat{g})$

Filtre stocké

Filtrage d'images par DFT

- On définit la transformée de Fourier bi-dimensionnelle ($N=2M$) de l'image f :

$$\hat{f}(u,v) = DFT(f)(u,v) = \sum_{-M \leq k \leq M} \sum_{-M \leq l \leq M} f(k,l) \cdot e^{-2i\pi/n (k.u + l.v)}$$

- Idem pour le filtre : $\hat{h} = DFT(h)$ et l'image filtrée $\hat{g} = DFT(g)$.
On a alors :

$$\hat{g}(u,v) = \hat{h}(u,v) \cdot \hat{f}(u,v)$$

- Algorithme

- 1. $\hat{f} := DFT(f)$ **$O(N^2 \cdot \log N)$**
- 2. $\hat{g}(u,v) := \hat{h}(u,v) \cdot \hat{f}(u,v)$ pour tout u,v : **$O(N^2)$**
- 3. $g := DFT^{-1}(\hat{g})$ **$O(N^2 \cdot \log N)$**

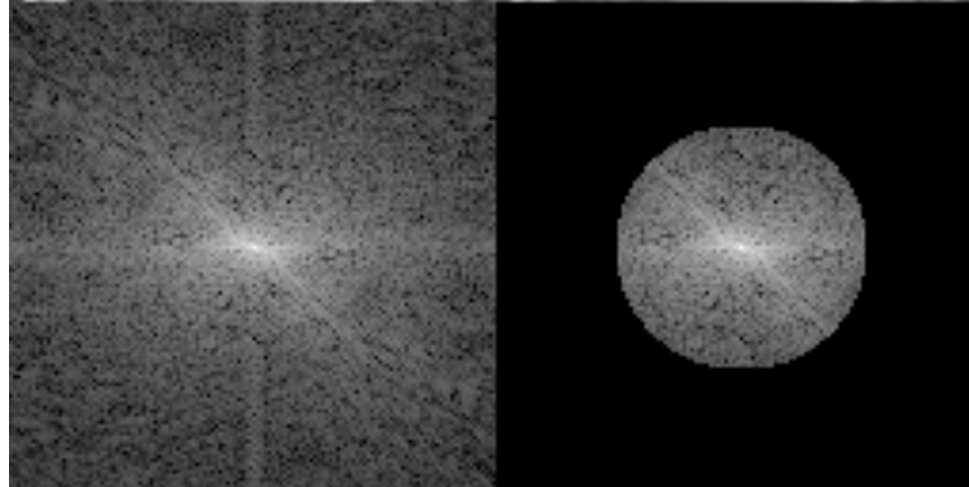
Filtre stocké

Illustration

Image initiale



Image filtrée



DFT de l'image

Application du filtre
en fréquences

Algorithme de la DFT et réorganisation des calculs

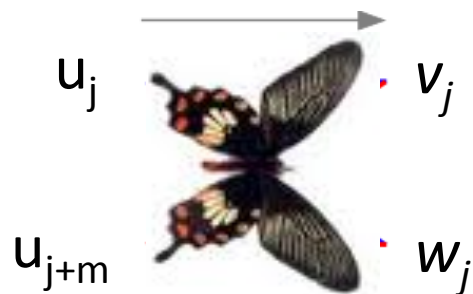
Algorithme FFT « Radix 2 » [Cooley-Tuckey 1965]

- On pose $n = 2.m$: $\omega^m = -1$;
 - $\hat{u}_{2k} = \sum_{0 \leq j < m-1} (u_j + u_{j+m}) \cdot \omega^{2.k.j}$
 - $\hat{u}_{2k+1} = \sum_{0 \leq j < m-1} (u_j - u_{j+m}) \cdot \omega^j \cdot \omega^{2.k.j}$

- D'où, en posant :

- $\theta = \omega^2$ est une racine $m^{\text{ième}}$ de l'unité
- $v_j = (u_j + u_{j+m}) \Rightarrow \hat{u}_{2k} = \sum_{0 \leq j < m-1} v_j \cdot \theta^{k.j}$
- $w_j = (u_j - u_{j+m}) \cdot \omega^j \Rightarrow \hat{u}_{2k+1} = \sum_{0 \leq j < m-1} w_j \cdot \theta^{k.j}$

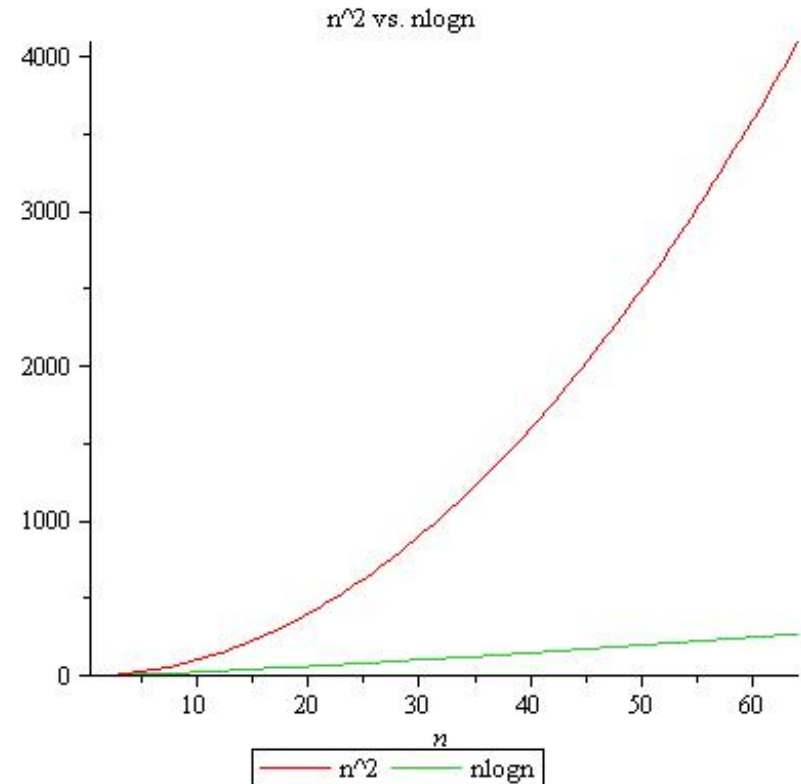
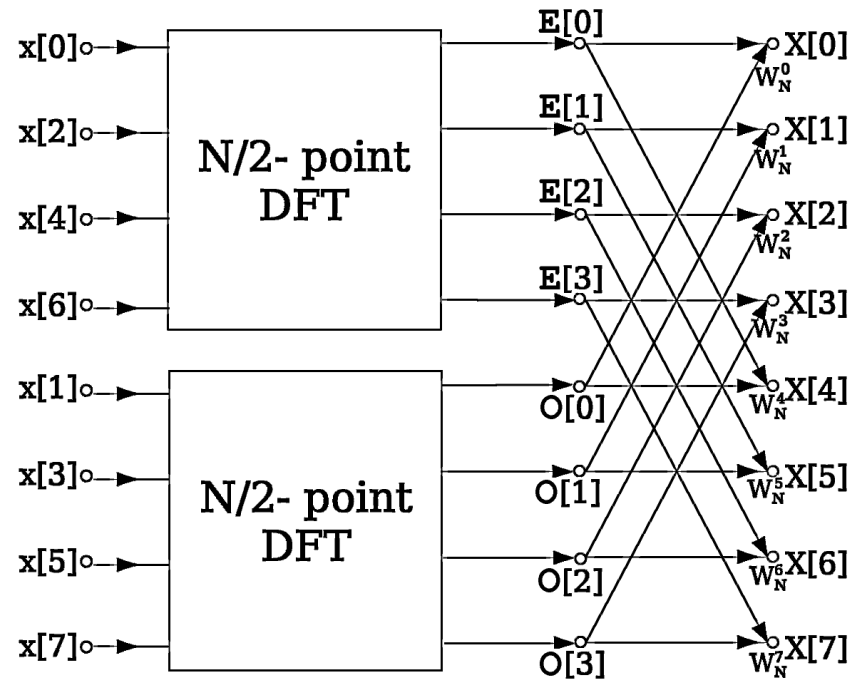
« Twiddle factor »



FFT de taille $m=n/2$

FFT de taille $m=n/2$

Algorithme FFT « Radix 2 » [Cooley-Tuckey 1965]



- $\text{Coût}_{\text{FFT}}(n) = 2 \cdot \text{Coût}_{\text{FFT}}(n/2) + \Theta(n) = \Theta(n \cdot \log_2 n)$ opérations.

between the publication of GAUSS' algorithm and the modern rediscovery of this approach by COOLEY & TUKEY.

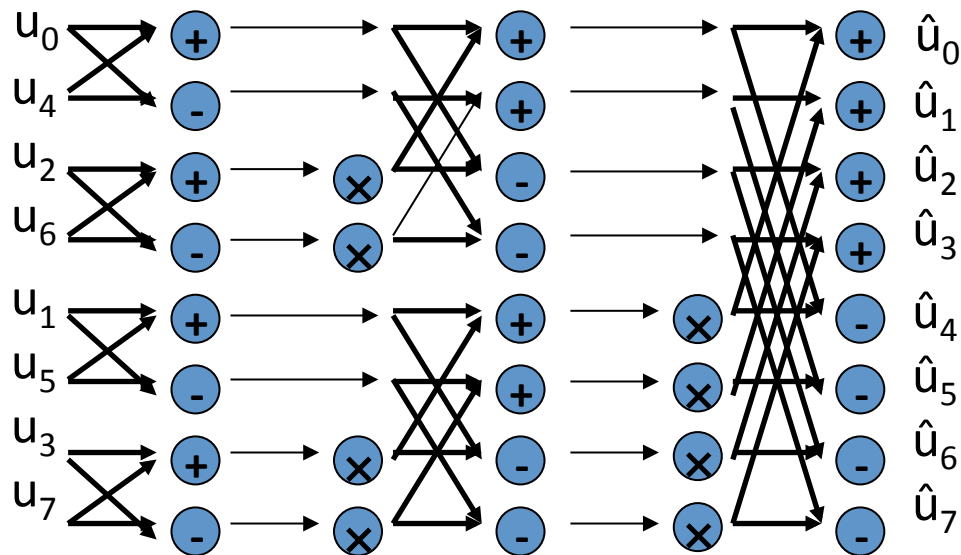
**Principal Discoveries of Efficient Methods
of Computing the DFT**

Researcher(s)	Date	Lengths of Sequence	Number of DFT Values	Application
C. F. GAUSS [10]	1805	Any composite integer	All	Interpolation of orbits of celestial bodies
F. CARLINI [28]	1828	12	7	Harmonic analysis of barometric pressure variations
A. SMITH [25]	1846	4, 8, 16, 32	5 or 9	Correcting deviations in compasses on ships
J. D. EVERETT [23]	1860	12	5	Modeling underground temperature deviations
C. RUNGE [7]	1903	$2^n K$	All	Harmonic analysis of functions
K. STUMPF [16]	1939	$2^n K, 3^n K$	All	Harmonic analysis of functions
DANIELSON & LANCZOS [5]	1942	2^n	All	X-ray diffraction in crystals
L. H. THOMAS [13]	1948	Any integer with relatively prime factors	All	Harmonic analysis of functions
I. J. GOOD [3]	1958	Any integer with relatively prime factors	All	Harmonic analysis of functions
COOLEY & TUKEY [1]	1965	Any composite integer	All	Harmonic analysis of functions
S. WINOGRAD [14]	1976	Any integer with relatively prime factors	All	Use of complexity theory for harmonic analysis

M. T. Heideman, D. H. Johnson, C. S. Burrus, *Gauss and the history of the fast Fourier transform*,
IEEE ASSP Magazine 1 (4), 14–21 (1984).

Programmation (radix 2) : schéma papillon

- Calcul en place, en colonne : « butterfly »



- Parallélisme potentiel:
 - $\log_2 n$ étapes, n opérations indépendantes à chaque étape
- Implémentations matérielles

Stabilité numérique

- La FFT est peu sensible aux erreurs d'arrondi :
 - Si \hat{u}_f est le résultat du calcul flottant avec précision ν :

$$\frac{\|\hat{u} - \hat{u}_f\|_2}{\|\hat{u}\|_2} \leq \sqrt{n} \cdot \log n \cdot c\nu \quad \text{avec } c\nu \sim 10^{-15} \text{ en double précision}$$

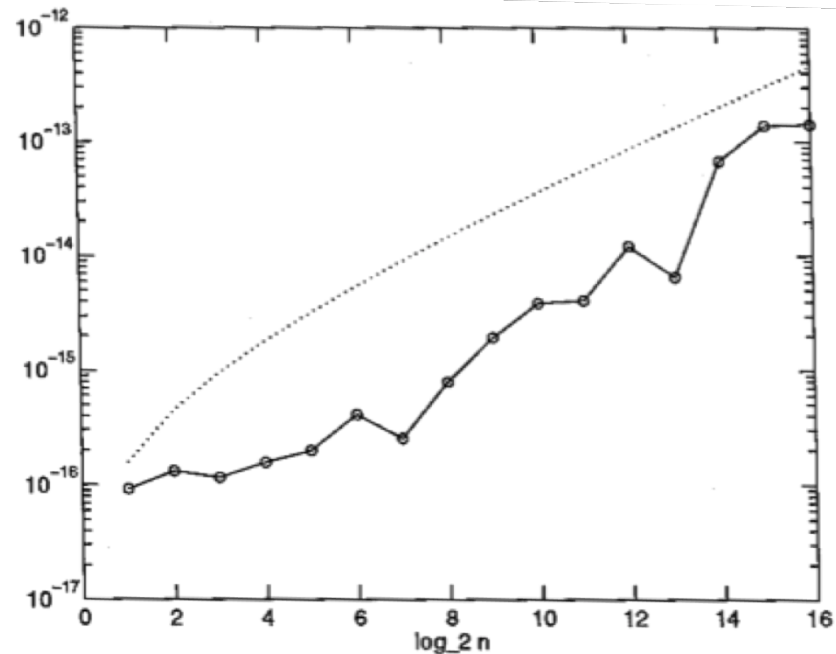


Figure 23.1. Error in FFT followed by inverse FFT ("o"). Dotted line is error bound.

[Higham 2002]

DFT: Interprétation matricielle

- La transformée de Fourier (directe ou inverse) est un produit matrice-vecteur (matrice de Vandermonde) :

$$\mathbf{DFT}_\omega(u) = \hat{u} = [n^{-1}.] \Omega.u$$

$$\begin{pmatrix} \hat{u}_0 \\ \cdot \\ \cdot \\ \cdot \\ \hat{u}_{n-1} \end{pmatrix} = \begin{pmatrix} 1 & 1 & 1 & \dots & 1 \\ 1 & \omega & \omega^2 & & \omega^{n-1} \\ \cdot & \omega^2 & \omega^4 & & \cdot \\ \cdot & & & \dots & \cdot \\ \cdot & & & \omega^{k.j} & \cdot \\ \cdot & & & & \cdot \\ 1 & \omega^{n-1} & & & \omega^{(n-1)^2} \end{pmatrix} \begin{pmatrix} u_0 \\ \cdot \\ \cdot \\ \cdot \\ u_{n-1} \end{pmatrix}$$

= évaluation du polynôme $\sum_{0 \leq k < n} u_k \cdot X^k$ en $1, \omega, \omega^2, \dots, \omega^{n-1}$

- La valeur de chaque \hat{u}_k dépend des n entrées u_0, \dots, u_{n-1}

DFT et polynômes (si ω et n^{-1})

- DFT_ω (coefficients d'un polynôme de degré $< n$) :
 - évaluation du polynôme aux n abscisses ω^i .
 - $\text{DFT}_\omega^{-1} = n^{-1}.\text{DFT}_{\omega^{-1}}$: Interpolation du polynôme
- Multiplication de polynômes de degrés $m < n/2$ en $O(n.\log n)$ opérations, asymptotiquement optimal
 - Entrée: $A = \sum_{0 \leq i < m} a_i X^i$ et $B = \sum_{0 \leq i < m} b_i X^i$
 - Sortie: $R = A.B = \sum_{0 \leq i < 2m} r_i X^i$
 1. Calcul $A' := \text{DFT}_\omega([0, \dots, 0, a_{m-1}, \dots, a_0])$
et $B' := \text{DFT}_\omega([0, \dots, 0, b_{m-1}, \dots, b_0])$
 2. Pour $0 \leq k < n$: $R'_k := A'_k \times B'_k$
 3. Calcul $[r_{n-1}, \dots, r_0] := n^{-1}.\text{DFT}_{\omega^{-1}}(R')$

DFT et arithmétique polynomiale

- Sur un anneau où n est inversible et avec une racine $n^{\text{ième}}$ primitive de l'unité,
- Se ramènent à des multiplications :
 - Division euclidienne : $O(n \log n)$
 - PGCD : $O(n \log^2 n)$
 - Sous-résultants (coefficients de Bezout)
 - Arithmétique (+, -, \times , $^{-1}$) dans les corps finis

Vision de la DFT comme Evaluation de polynômes aux ω^i

- Algorithme Diviser pour régner (n puissance de 2)
 - Le polynôme $P = u_0 + u_1.X^1 + u_2.X^2 + \dots + u_{n-1}.X^{n-1}$
est divisé en deux polynômes:
 - Coefficients pairs: $P_0 = u_0 + u_2.X^1 + u_4.X^2 + \dots + u_{n/2-1}.X^{n/2-1}$
 - Coefficients impairs: $P_1 = u_1 + u_3.X^1 + u_5.X^2 + \dots + u_{n/2-2}.X^{n/2-1}$
 - Alors $P(X) = P_0(X^2) + X.P_1(X^2)$
- Or $(\omega^{n/2+i})^2 = (\omega^i)^2$: il suffit d'évaluer P_0 et P_1 en $n/2$ valeurs :
 - 1 évaluation (n) = 2 évaluations ($n/2$) + $O(n)$
 - mêmes opérations que FFT Radix-2.

Evaluation de polynômes et *mixed-radix*

- La formulation $P(X) = P_0(X^2) + X.P_1(X^2)$ s'étend avec découpe en k (pour $n \leq k.m$).

-

Soit
$$P_i = u_i + u_{i+k}.X^1 + u_{i+2k}.X^2 + \dots + u_{i+(m-1).k}.X^{m-1} \quad (i=0..k-1)$$

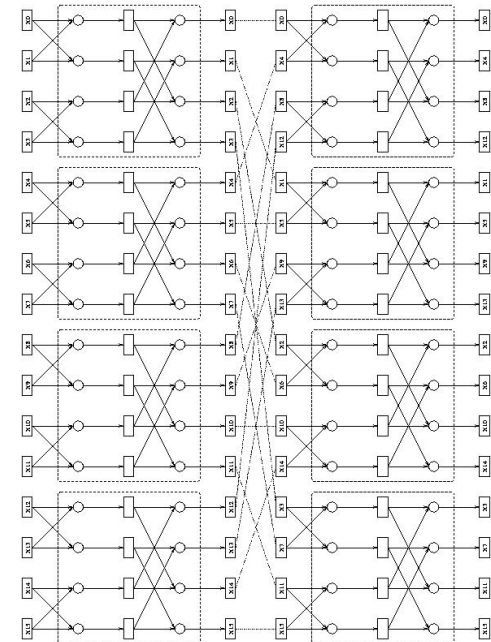
Alors
$$P(X) = P_0(X^k) + X.P_1(X^k) + \dots + X.P_{k-1}(X^k)$$

- D'où réduction FFT de taille $k.m$ à :

k FFT de taille m

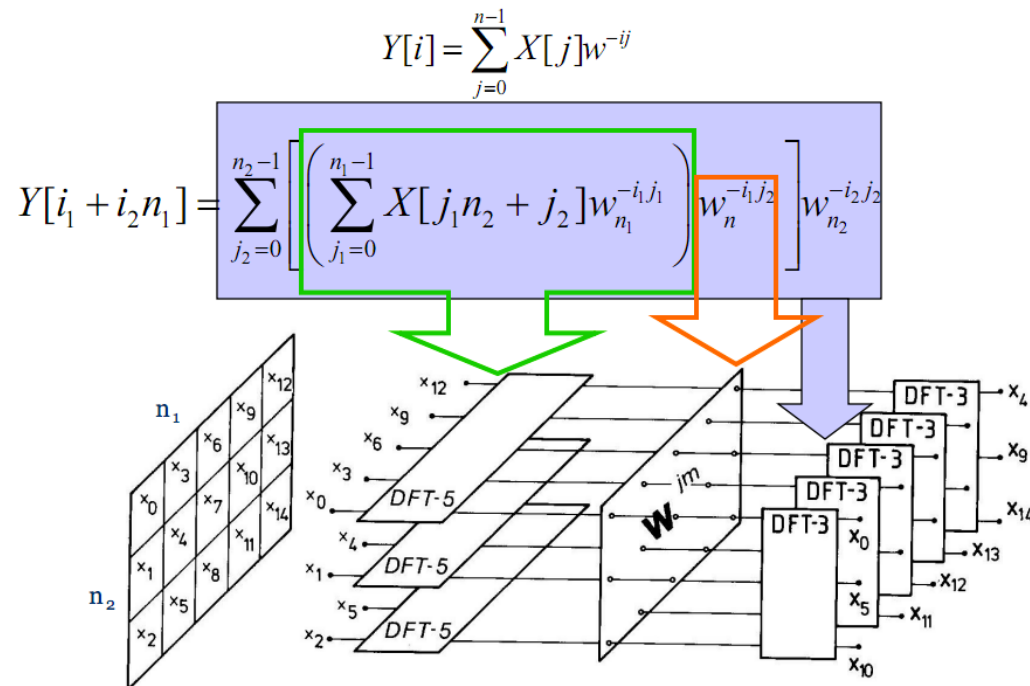
+ transposition $m \times k \rightarrow k \times m$

+ m FFT de taille k



Découpes récursives de DFT(n)

- Algorithmes de Cooley-Tuckey avec $n = n_1 \cdot n_2$
 - Calculer n_2 DFT de taille n_1
 - Multiplier par les racines de l'unité (*twiddle factors*)
 - Calculer n_1 DFT de taille n_2



Formulation générique de la DFT (et DSPs)

$$x \mapsto y = M \cdot x$$

Vecteur entrée (signal) \nearrow x
 \nwarrow y
 \uparrow M

Vecteur sortie(signal) \longleftarrow y
transformation = matrice

$$\begin{bmatrix} 1 & 1 & 1 & 1 \\ 1 & i & -1 & -i \\ 1 & -1 & 1 & -1 \\ 1 & -i & -1 & i \end{bmatrix} = \begin{bmatrix} 1 & 0 & 1 & 0 \\ 0 & 1 & 0 & 1 \\ 1 & 0 & -1 & 0 \\ 0 & 1 & 0 & -1 \end{bmatrix} \begin{bmatrix} 1 & 0 & 0 & 0 \\ 0 & 1 & 0 & 0 \\ 0 & 0 & 1 & 0 \\ 0 & 0 & 0 & i \end{bmatrix} \begin{bmatrix} 1 & 1 & 0 & 0 \\ 1 & -1 & 0 & 0 \\ 0 & 0 & 1 & 1 \\ 0 & 0 & 1 & -1 \end{bmatrix} \begin{bmatrix} 1 & 0 & 0 & 0 \\ 0 & 0 & 1 & 0 \\ 0 & 1 & 0 & 0 \\ 0 & 0 & 0 & 1 \end{bmatrix}$$

$$\begin{array}{ccccccc}
 & \text{DFT} & = & \text{diagonale (twiddles)} & & \text{entrée} & \\
 & | & & | & & | & \\
 y & = & (\text{DFT}_2 \otimes \text{I}_2) & \cdot \text{T}_2^4 & \cdot (\text{I}_2 \otimes \text{DFT}_2) & \cdot \text{L}_2^4 & x \\
 | & & | & & | & & | \\
 \text{Sortie} & & \text{Produit Kronecker} & & \text{Identité} & & \text{Permutation}
 \end{array}$$

Plan de l'exposé

I. DFT et FFT

II. Améliorations algorithmiques de la DFT

Hiérarchie mémoire, Cache
FFTW, SPIRAL

III. Améliorations algorithmiques reposant sur la DFT

Arithmétique exacte

Programmation et performances

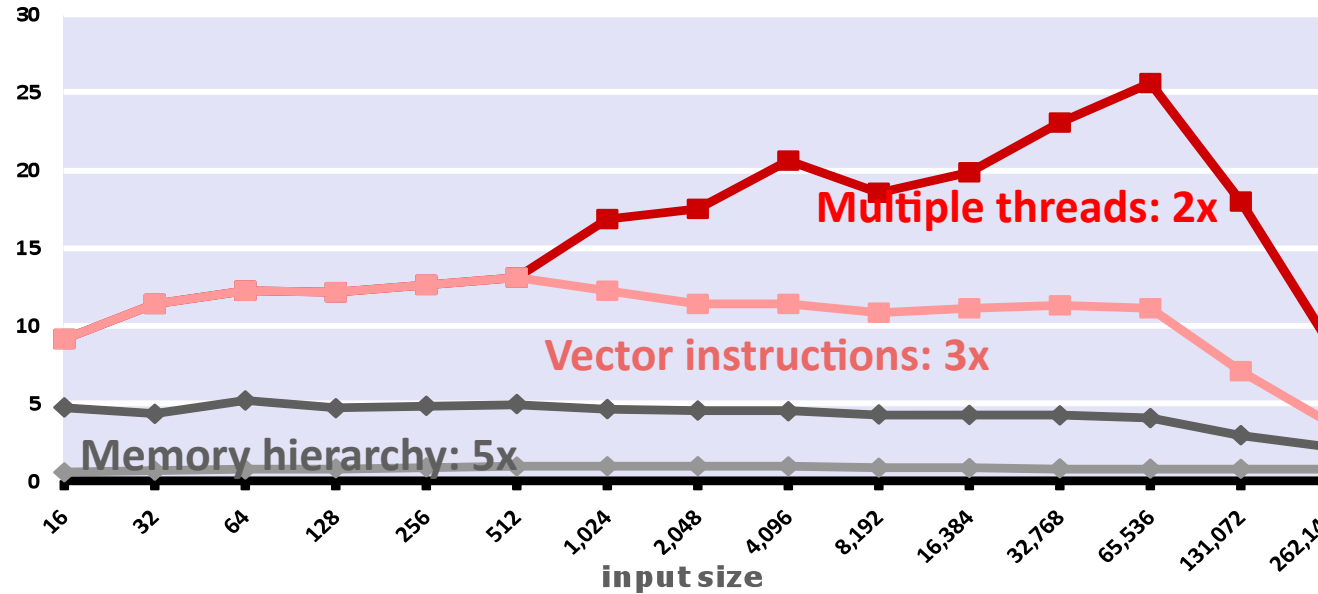
- Premiers programmes « optimisés » :
 - Dérouler la récursivité => programme itératif
 - arrêt sur seuil (FFT spécialisée pour tailles spécifiques)
- Encore et toujours des « meilleurs » algorithmes
Par exemple, pour FFT réelle de taille 2^m
 - [Yavné, 1968] #opérations FFT « split-radix » : $4 n \log_2 n - 6n + 8$
 - [Johnson, Frigo, 2007] : $(34/9) n \log_2 n - (124/27).n + \dots$
- Les machines évoluent, les algorithmes aussi.

Programmation Haute-performance

- Algorithmes
- Optimisations de compilation
- Exploiter l'architecture
 - Parallélisme au niveau instruction (ILP)
 - Vectorisation (ex. SSE)
 - Parallélisme (multicoeurs, GPU)
 - Hiérarchie mémoire
 - Mémoire distribuée (clusters, Top'500)

Discrete Fourier Transform (DFT) on 2xCore2Duo 3 GHz

Performance [Gflop/s]



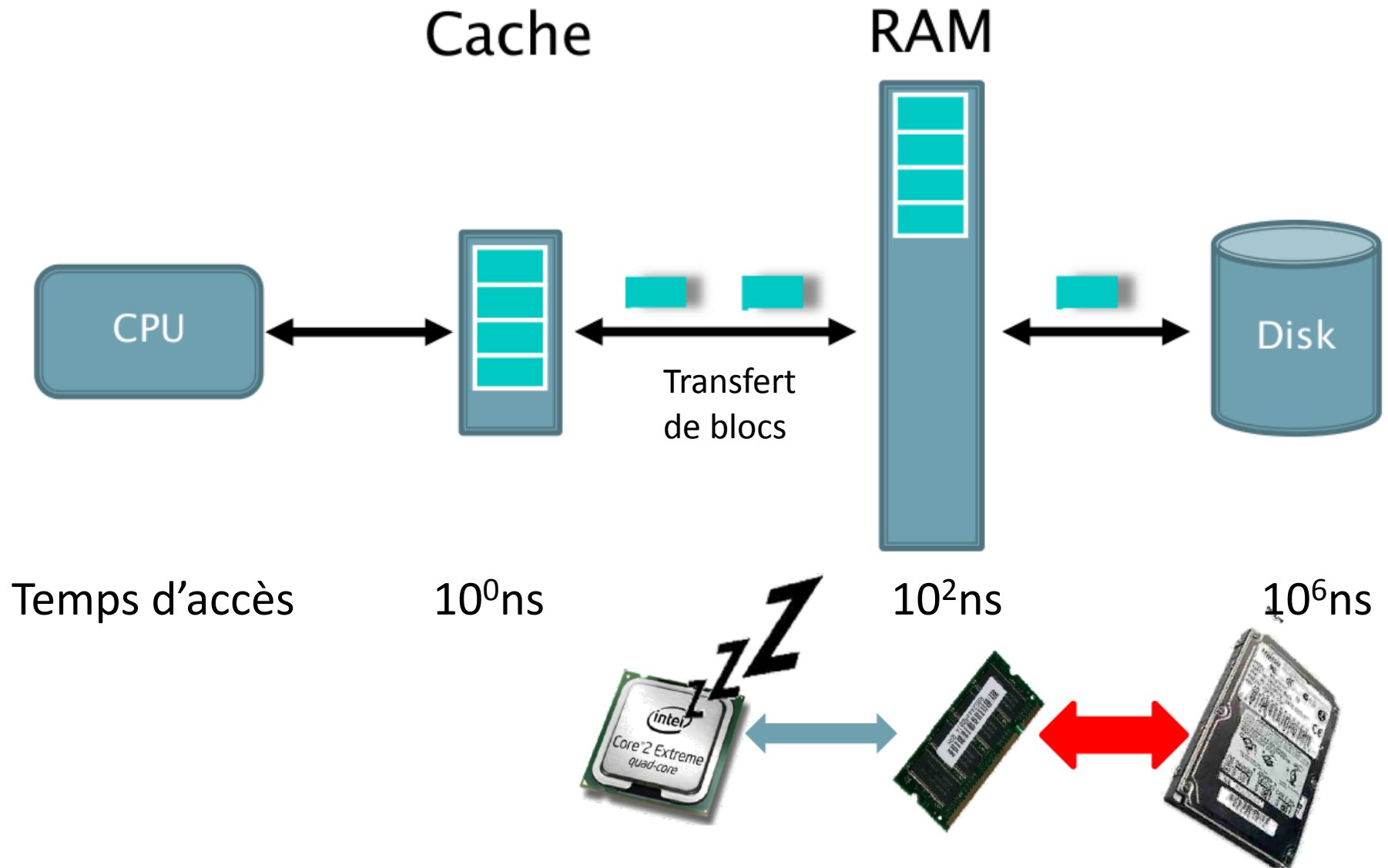
[J. Johnson, SPIRAL]

La programmation devient un cauchemar...

Cela motive de synthétiser les programmes via

- de nouveaux modèles algorithmiques,
- de nouveaux langages de plus haut niveau pour les compiler.

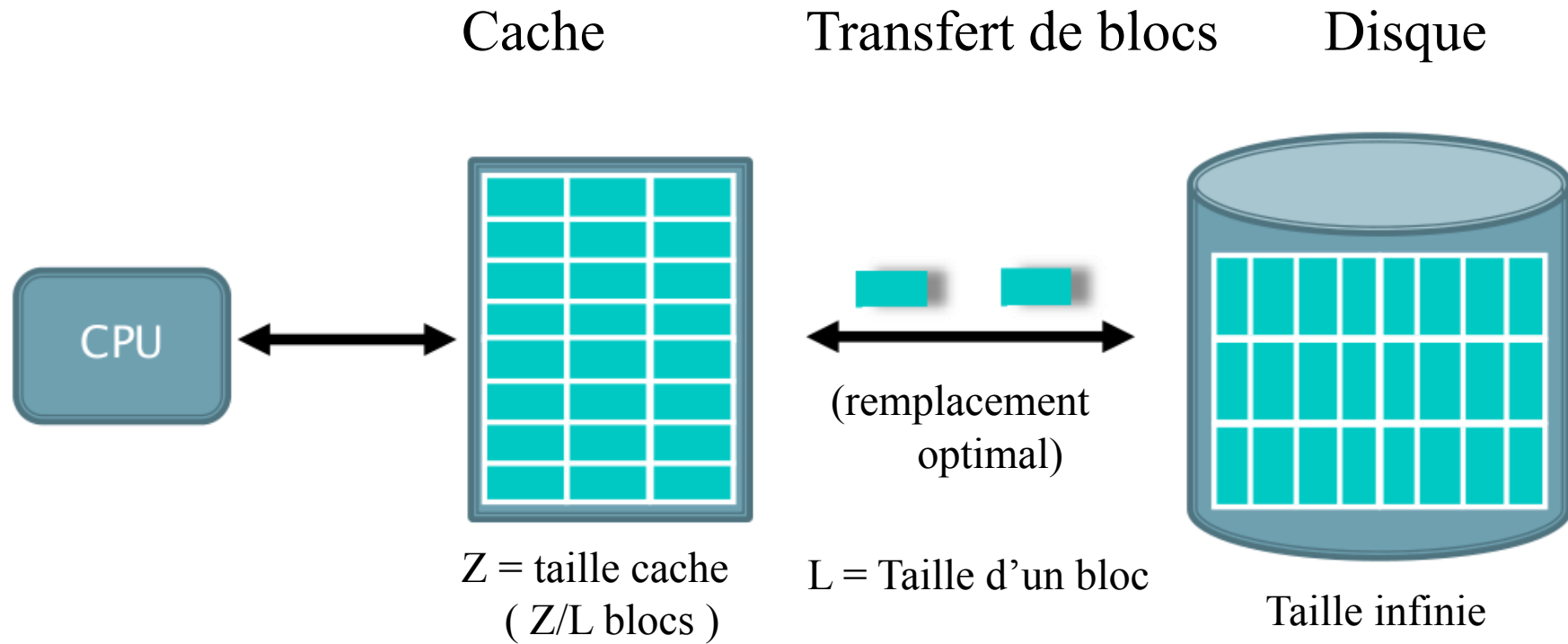
Hiérarchie mémoire et cache



[Aggarwal & Vitter 1988]
[Frigo & al 1999]

Modèle de cache

or external memory
out-of-core
disk access machine
I/O model

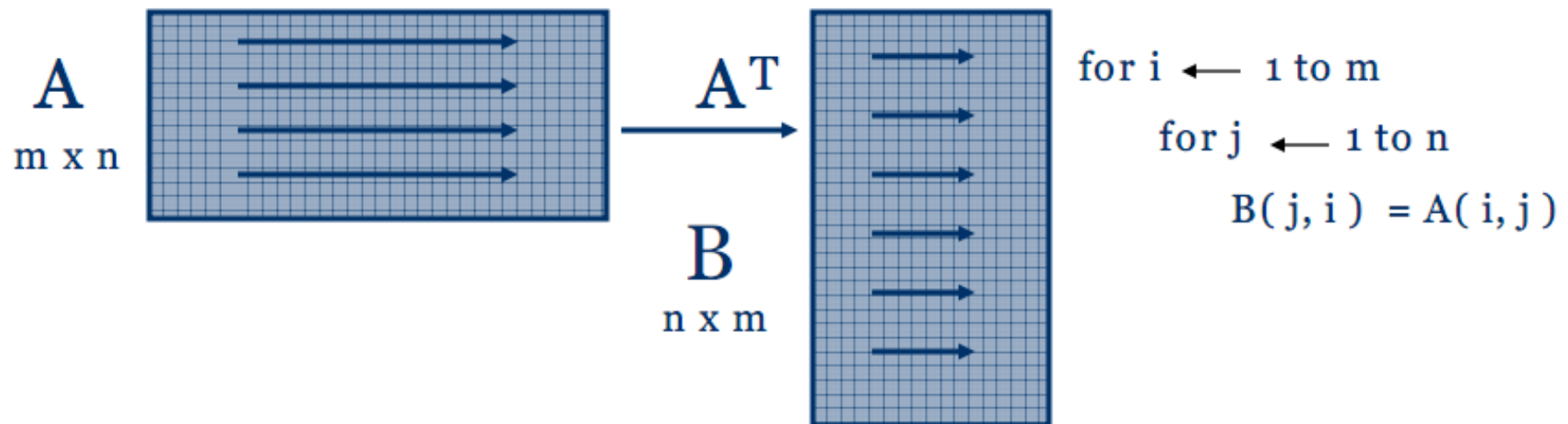


Travail (W) = #opérations

Défauts de cache: $Q(n, L, Z) = \#transferts\ de\ blocs$

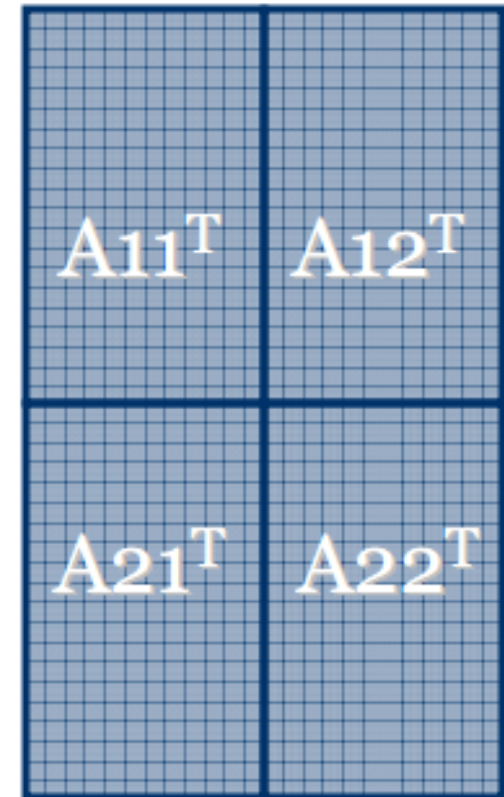
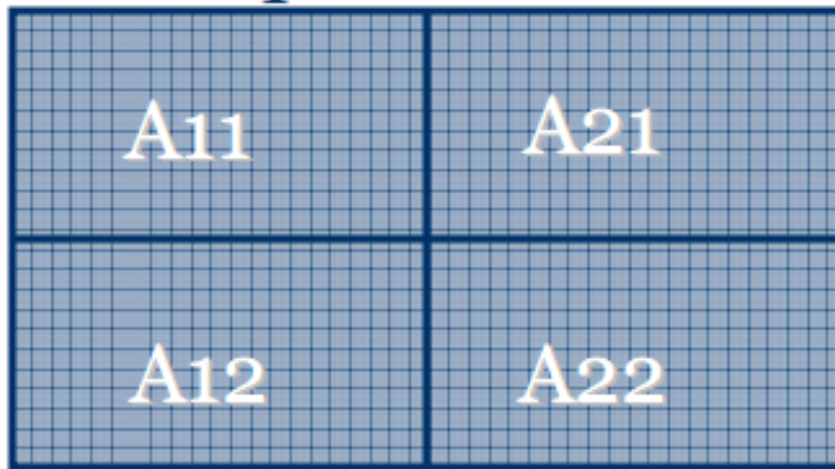
Transposition de matrice

- Le disque = séquence de mots
 - Matrices stockées par lignes
- Si n très large, l'accès de B par colonne cause un défaut de cache à chaque top



Transposition de matrice optimale

- Partitionner A selon la plus grande dimension, et récursivement transposer chaque bloc

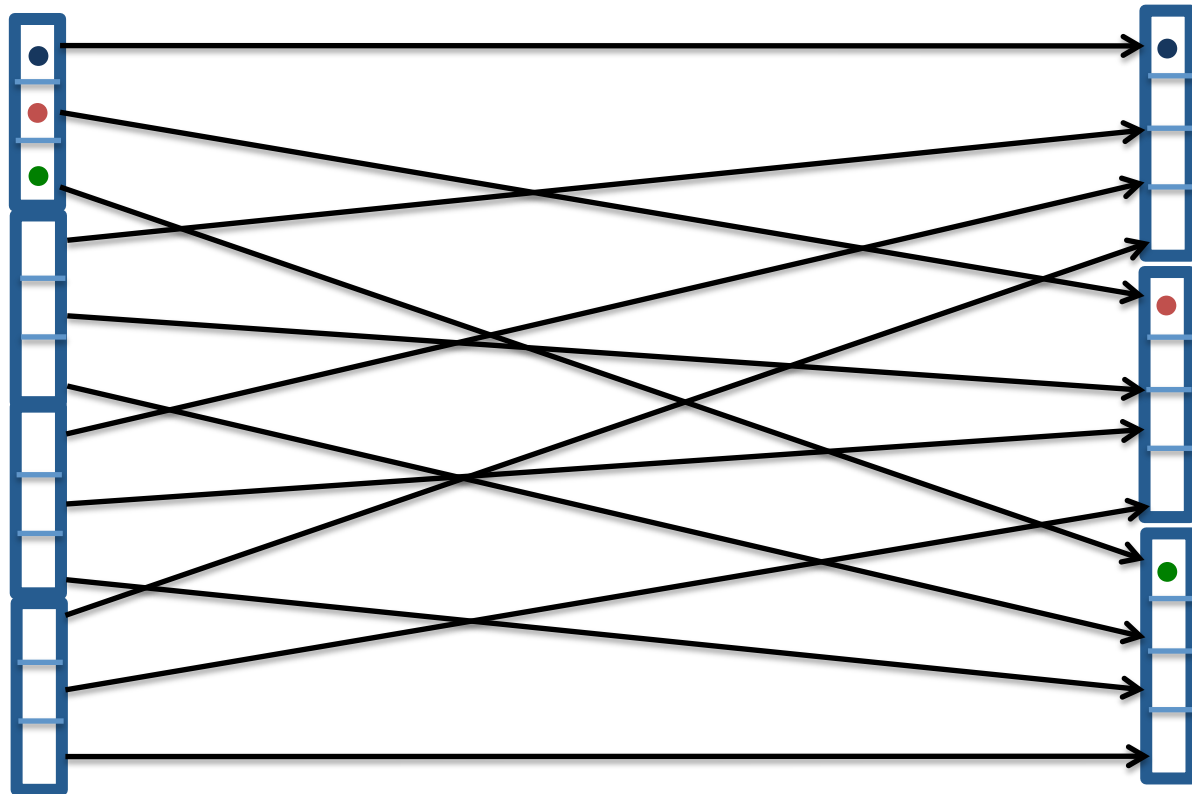


- $Q(m,n) O(1 + m.n/L)$: optimal.
- « **Cache-oblivious** »: optimal sans référencer Z et L dans le programme.

Lien transposition et FFT

- $\text{FFT}(n.m) = n \text{ FFT}(m) + \text{transposition} + m \text{ FFT}(n)$
matrice $n \times m$ twiddle factors matrice $m \times n$

$n = 4$
 $m = 3$



Lien transposition et FFT

- $\text{FFT}(n.m) = n \text{ FFT}(m) + \text{transposition} + m \text{ FFT}(n)$
matrice $n \times m$ twiddle factors matrice $m \times n$

$n = 4$
 $m = 3$

•	•	•

•			
•			
•			

FFT et cache

- Cooley-Tuckey :
 - Si programmation naïve en place,
itératif, colonne par colonne :

après $\log_2 Z$, plus de localité
 - $Q(n) = n \log n / Z L + O(n \log n)$

FFT en connaissant la taille du cache

- Découpe de n en blocs de taille Z maximisant la localité :

$$- n = Z \cdot Z \dots Z = Z^{\log_Z n}$$

- D'où $(n/Z) \cdot \log_Z n$ blocs DFT de taille Z
 - Entre deux blocs: permutation avec vidage du cache
- $Q(n) = O(n/L \cdot \log_Z L)$
 - Optimal pour un algorithme de Cooley-Tukey

FFT « cache-oblivious »

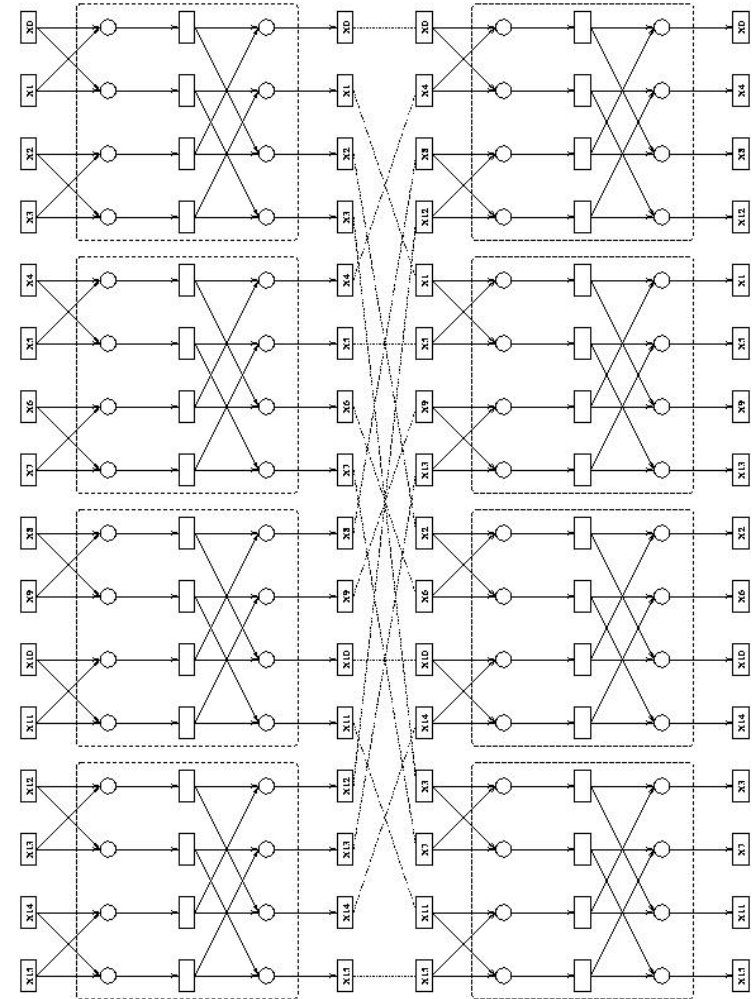
- Avec une découpe récursive de taille \sqrt{n} :

1. Calcul de \sqrt{n} FFT de taille \sqrt{n}
2. Permutation par blocs : $V_i[j] \leftrightarrow V_j[i]$
3. Calcule \sqrt{n} FFT de taille \sqrt{n}

- si $n > Z$: $Q(n) = 2\sqrt{n} \cdot Q(\sqrt{n}) + O(n/L)$
sinon $Q(n) = n$.

- $Q(n) = O(n/L \cdot \log_Z L)$: optimal

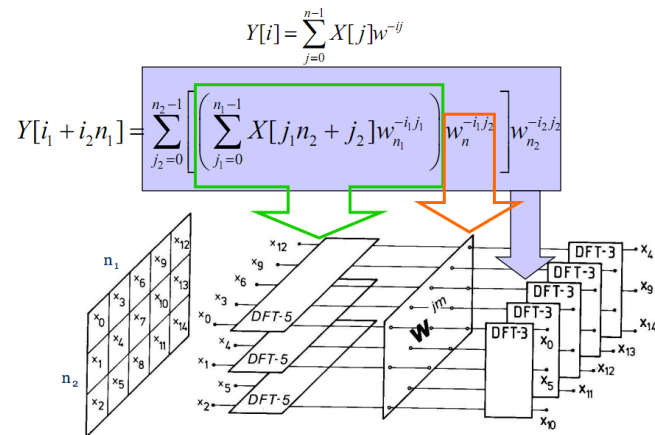
- Cache+parallélisme :
algorithmique portable



Exemple: $n=16$

FFT et réorganisations algorithmiques

- Pour une taille n fixée, choisir la meilleure organisation radix $n \leq n_1 \cdot n_2 \geq n$ et parenthésage



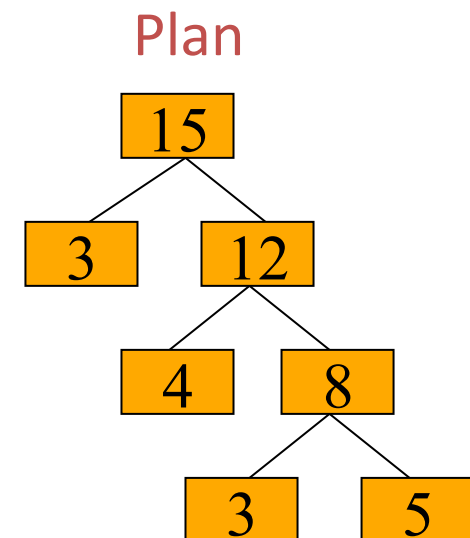
$$y = (\text{DFT}_2 \otimes \text{I}_2) \cdot \tau_2^4 \cdot (\text{I}_2 \otimes \text{DFT}_2) \cdot \mathcal{L}_2^4 x$$

- Choix à chaque niveau de la récursivité :
 - Limiter la combinatoire
 - programmation dynamique (heuristique ici)
- Exemples d'infrastructures : FFTW et SPIRAL

La bibliothèque FFTW [Frigo, Johnson IEEE05]

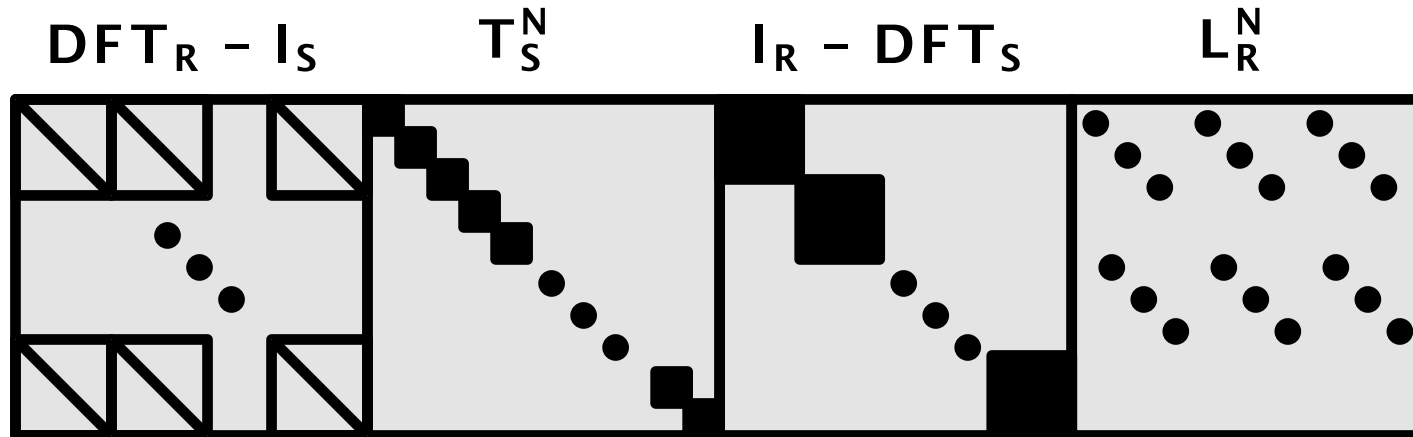
<http://www.fftw.org/> [3.2.2])

- Utilise des “codelets”: code optimisé pour les FFTs de petite taille.
- Pour un n fixé (paramètre), combine ces codelets via par découpe récursive de la FFT (Split-radix)
 - Différentes stratégies, in-out, ...
- Utilise la programmation dynamique pour trouver une combinaison efficace
- Le résultat du calcul (choix des facteurs de découpe et facteurs “twiddle”) sont stockés dans un plan.
- L’exécution du plan est réalisée par un exécuteur.

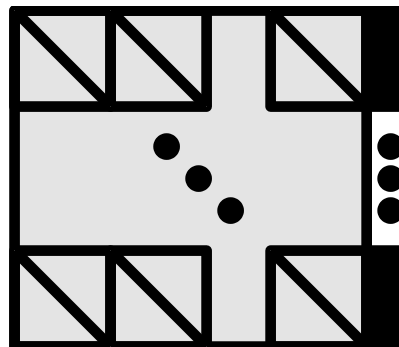


FFTW : optimisations

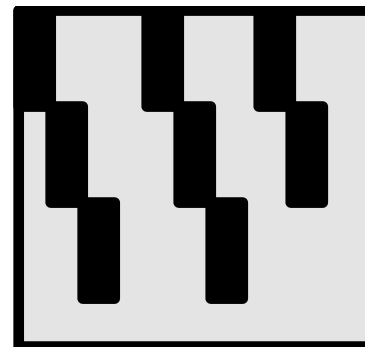
$$\text{DFT}_N = (\text{DFT}_R - I_S) T_S^N (I_R - \text{DFT}_S) T_S^N; \quad N = RS$$



$$(\text{DFT}_R - I_S) T_S^N$$



$$(I_R - \text{DFT}_S) L_R^N$$



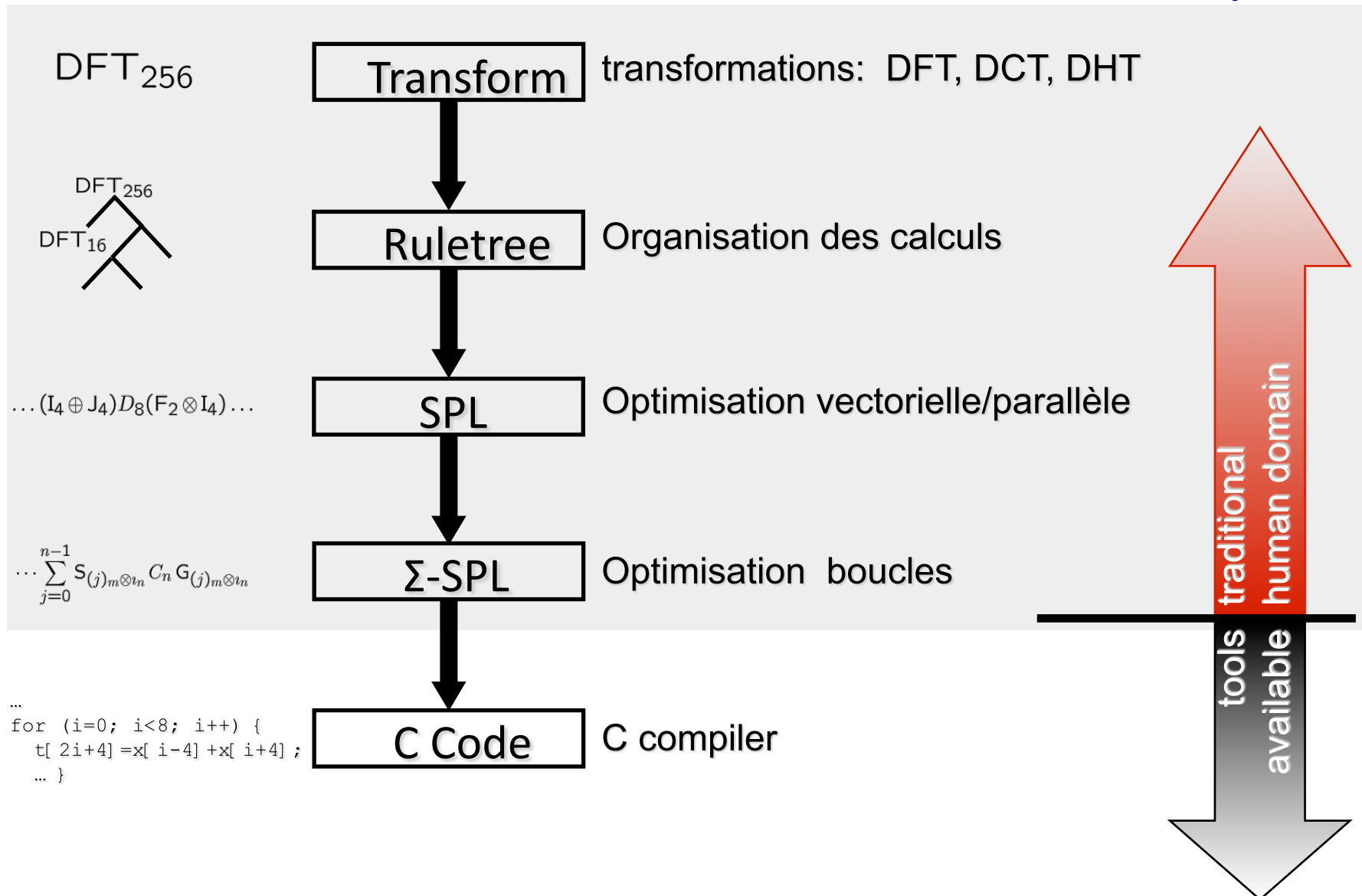
FFTW : utilisation

```
fftw_plan plan;  
int n = 1024;  
COMPLEX A[n], B[n];  
  
/* plan the computation */  
plan = fftw_create_plan(n);  
  
/* execute the plan */  
fftw(plan, A);  
  
/* the plan can be reused */  
fftw(plan, B);
```

Surcoût du calcul du plan amorti par sa réutilisation.

Synthèse par compilation: SPIRAL

www.spiral.net



SPIRAL: Génération de programme

Choix de la Transformation
(utilisateur)

DFT₈



Optimisations aux différents niveaux

Algorithme en SPL
choix possibles
(règles réécriture)

$$(DFT_2 \otimes I_4) T_4^8 (I_2 \otimes ((DFT_2 \otimes I_2) \cdot T_2^4 (I_2 \otimes DFT_2) L_2^4)) L_2^8$$



Σ-SPL:
[PLDI 05]

$$\sum (S_j DFT_2 G_j) \sum \left(\sum (S_{k,l} \text{diag}(t_{k,l}) DFT_2 G_l) \sum (S_m \text{diag}(t_m) DFT_2 G_{k,m}) \right)$$



C Code:

```
void sub(double *y, double *x) {
    double f0, f1, f2, f3, f4, f7, f8, f10, f11;
    f0 = x[0] - x[3];
    f1 = x[0] + x[3];
    f2 = x[1] - x[2];
    f3 = x[1] + x[2];
    f4 = f1 - f3;
    y[0] = f1 + f3;
    y[2] = 0.7071067811865476 * f4;
    f7 = 0.9238795325112867 * f0;
    f8 = 0.3826834323650898 * f2;
    y[1] = f7 + f8;
    f10 = 0.3826834323650898 * f0;
    f11 = (-0.9238795325112867) * f2;
    y[3] = f10 + f11;
}
```



parallelization
vectorisation



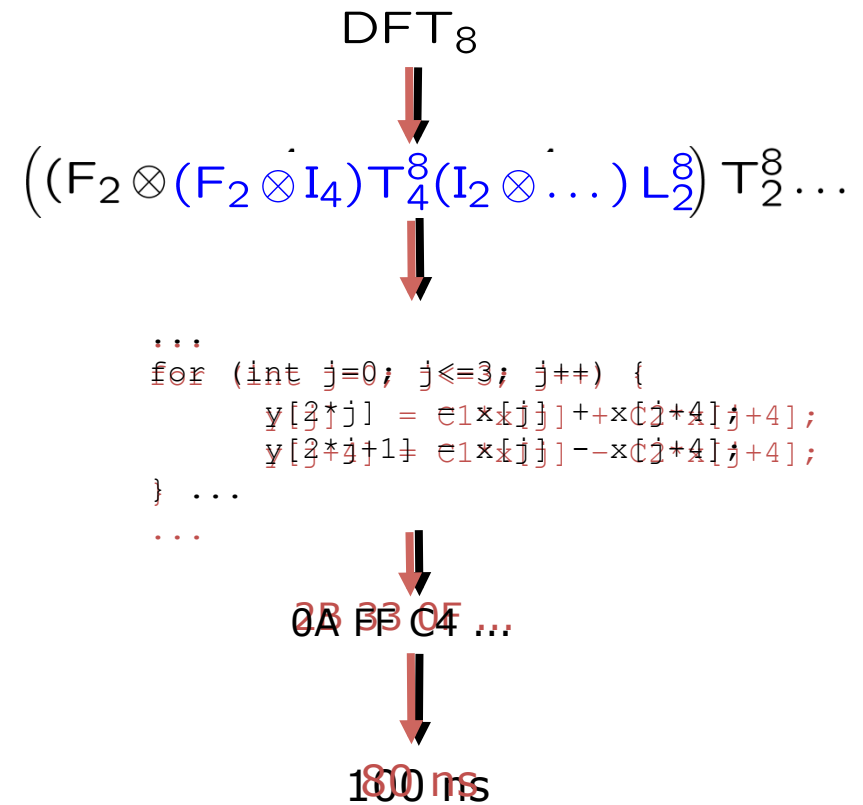
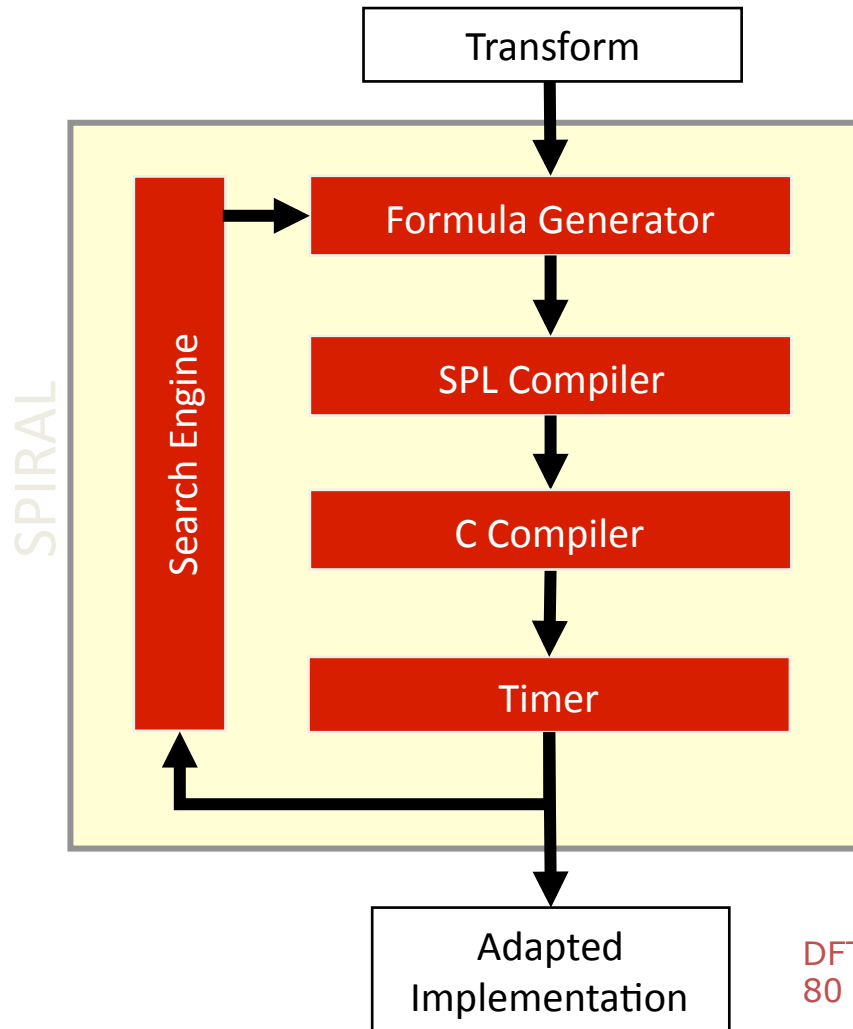
Optimisations
boucles



Ordonnancement
instructions,
Constantes, ...

SPIRAL Architecture [Johnson&al IEEE 05]

Recherche empirique parmi plusieurs factorisations (auto-tuning)



DFT_8.c
80 ns

Plan de l'exposé

I. DFT et FFT

II. Améliorations algorithmiques de la DFT

Découpe recursive, algorithmes cache et processor oblivious
Synthèses optimisées : FFTW, SPIRAL

III. Améliorations algorithmiques reposant sur la DFT

Arithmétique exacte : entiers, polynômes, matrices

Codes correcteurs d'erreurs

DFT et calcul exact

- Requis pour DFT / FFT et FFT⁻¹ : +, × n inversible ω racine primitive
- Pour tout n , il existe un entier M avec une racine primitive $n^{\text{ème}}$ de l'unité ω modulo M :
 $\omega^n = 1 \pmod{M}$ et pour $0 < j < n : \omega^j \neq 1 \pmod{M}$

• Exemple: dans $A = \mathbb{Z}_{11}^*$

et pour $n=10$ ($n^{-1}=10$)

	^{^2}	^{^3}	^{^4}	^{^5}	^{^6}	^{^7}	^{^8}	^{^9}	^{^10}
1	1	1	1	1	1	1	1	1	1
2	4	8	5	10	9	7	3	6	1
3	9	5	4	1	3	9	5	4	1
4	5	9	3	1	4	5	9	3	1
5	3	4	9	1	5	3	4	9	1
6	3	7	9	10	5	8	4	2	1
7	5	2	3	10	4	6	9	8	1
8	9	6	4	10	3	2	5	7	1
9	4	3	5	1	9	4	3	5	1
10	1	10	1	10	1	10	1	10	1

- Modulo 11, $\omega = 2$ est une racine primitive 10^{ème} de l'unité (6, 7, 8 aussi)
 - donc $\omega^2=2^2=4$ est une racine 5^{ème} de l'unité ($6^2=3$, $7^2=4$, $8^2=9$ aussi)
 - et $2^{-4}=2^{10-4}=2^6=9$.
- Le corps fini à q éléments possède une racine primitive $n^{\text{ème}}$ de l'unité si n divise $q-1$.

DFT sur un anneau général

- Ajout « virtuel » de racines de l'unité pour la DFT
 - Utilisation de puissance de 2 comme racine de l'unité
- Dans un anneau A avec 2 inversible :
 - Calcul dans $A[X] / (X^n + 1) \Rightarrow X^{2n} = 1 \pmod{X^n + 1}$
 - $\omega = X$ est une racine primitive $2n$ -ième de l'unité
 - Calcul récursif par DFT sur des blocs de \sqrt{n} chiffres
 - Multiplication $O(n \cdot \log n \cdot \log \log n \cdot \text{Logloglog } n \dots \log^* n)$

DFT et multiplication d'entiers

Entiers de n chiffres en base B

Multiplication sans retenue (DFT)
calculs modulo $M = \text{mot machine}$

Il suffit $M < n \cdot B^2$

propagation de retenue en $O(n)$

			3	1	7
	×		8	5	
			15	5	35
			24	8	56
			= 24	23	61
			2	6	9
			4	5	

- Choix de M : « premier de Fourier » : $p-1 = u \cdot 2^k$
 - Exemple: $108 \cdot 2^{57} + 1$, premier et $\omega = 64$ racine 2^{57} -ième de 1.
 - Avec $B = 2^{20}$ (blocs de 20 bits), entiers de $n \leq 14 \cdot 10^6$ blocs de 20 bits :
permet de multiplier des entiers 30 Mbits = en $O(n \cdot \log n)$

- Le surcoût lié à la redondance peut-être évité
 - Modulo 3 nombres premiers de 64 bits (« 3-primes »)

DFT et arithmétique entière

- Multiplication d'entiers de n bits

- FFT sur des entiers de \sqrt{n} bits :

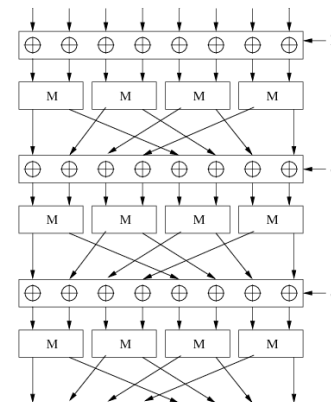
$$\text{coût} = n \cdot \log n \cdot \log \log n \quad [\text{Schönhage, Strassen 71}]$$

- Découpe avec \neq décompositions mixtes $n = n_1 \cdot n_2$

$$\text{coût} = n \cdot \log n \cdot 2^{O(\log^* a)} \quad [\text{Fürer 07}] \quad [\text{De, Saha, Kurur Satharish 08}]$$

- Division euclidienne, pgcd, inverse modulaire en temps quasi linéaire $\tilde{O}(n)$

- Cryptographie



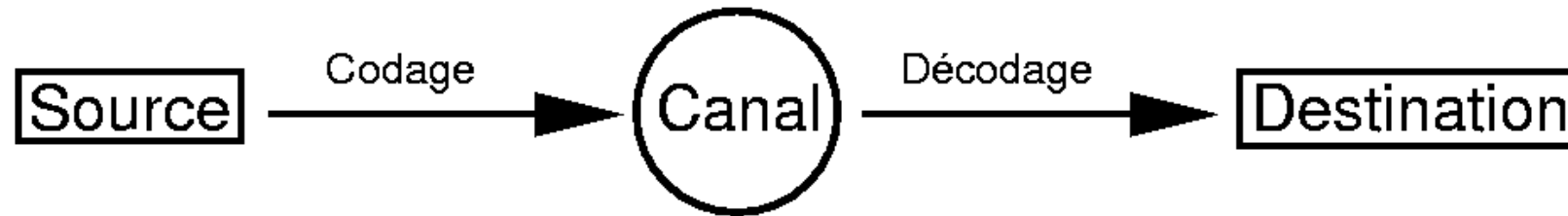
Autres algorithmes reposant sur la FFT

- Polynômes sur un anneau $A[X]$
 - représenter du polynôme comme un entier

[Cantor, Kaltofen 1991]

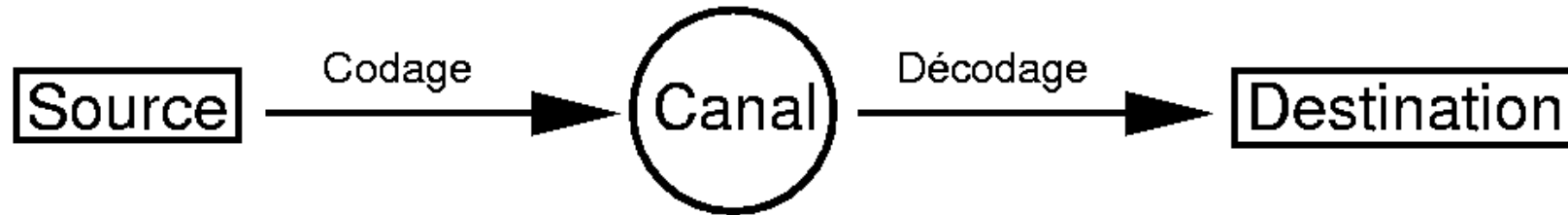
- Opérations sur certaines matrices creuses structurées
 - Liées à de l'arithmétique polynomiale :
 - Circulantes, Toeplitz

Transmission numérique



- Le code doit répondre à différents critères :
 - Rentabilité : compression des données [...FFT...]
 - Sécurité de l'information : confidentialité, intégrité, authentification, [...FFT...]
 - **Tolérance aux fautes** : correction/détection d'erreurs.

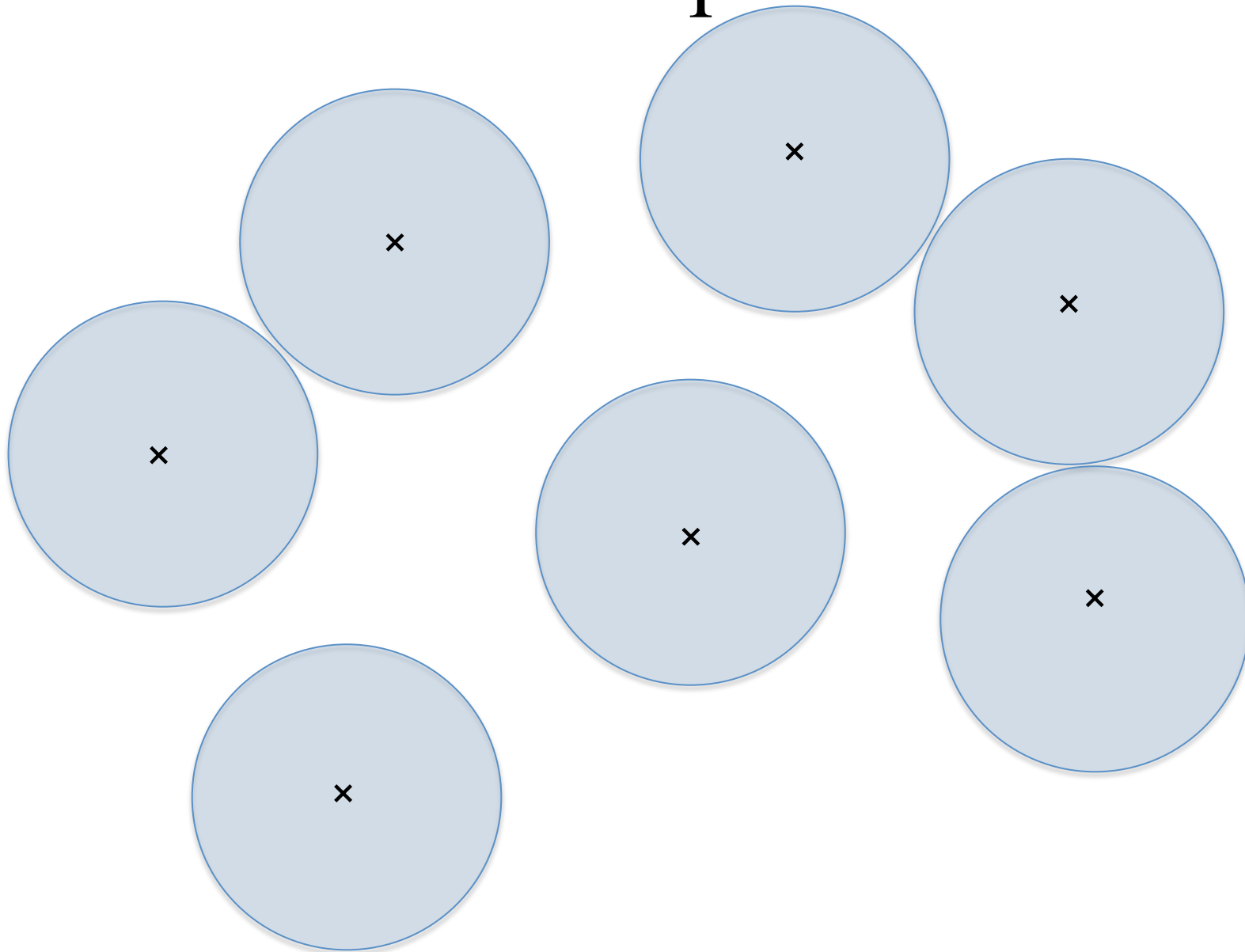
Transmission numérique



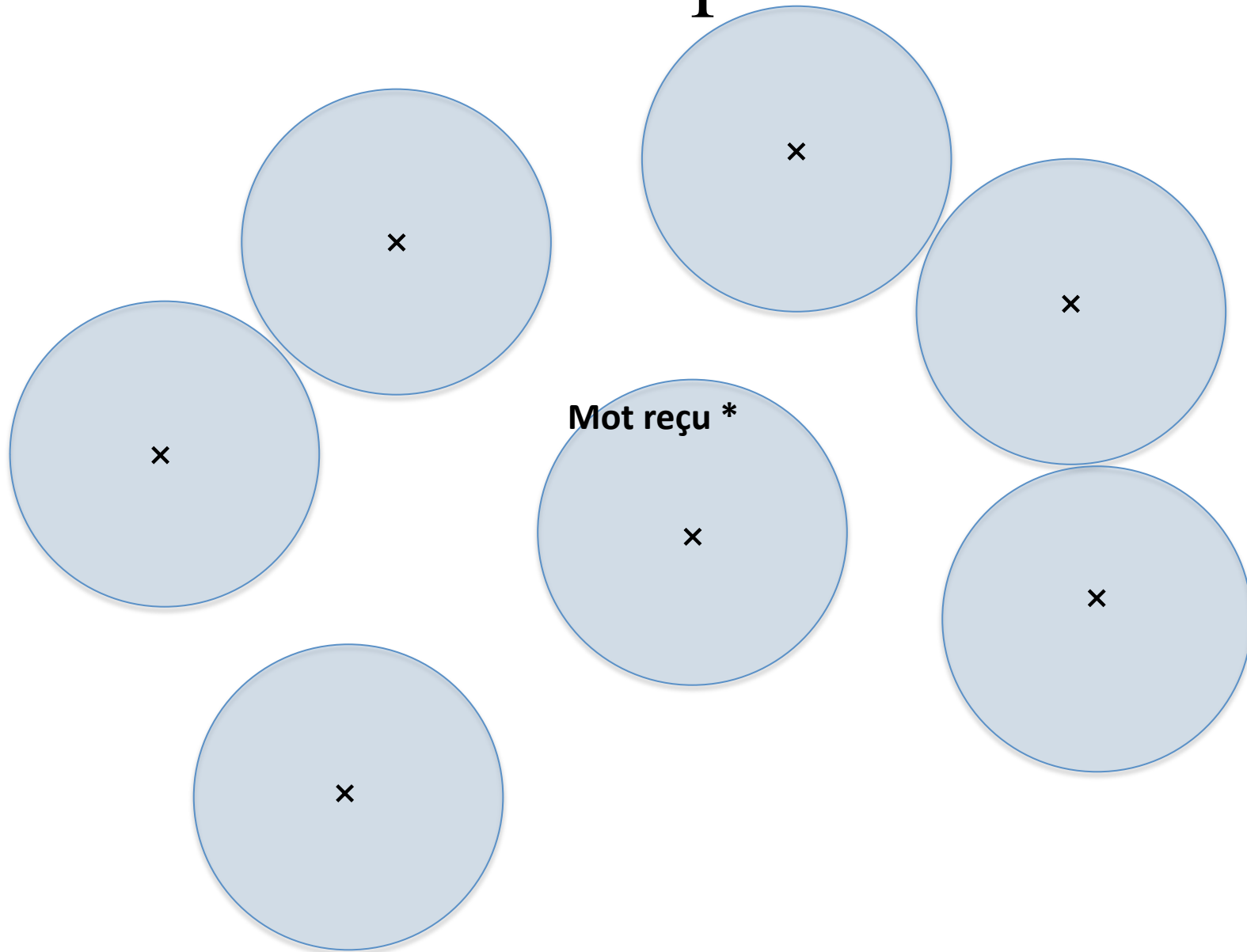
$$m = x_0, \dots, x_k \xrightarrow{\text{Codage}} f(m) \xrightarrow{\text{Transmission}} f(m) + e \xrightarrow{\text{Décodage}} g(f(m) + e) \stackrel{?}{=} m$$

- Détection/correction d'erreurs:
 - Un mot source de k symboles est représenté univoquement par un mot de $n = k + r$ symboles = *mot de code*
 - Déf: Distance = nombre minimum de symboles qui diffèrent entre deux mots de code

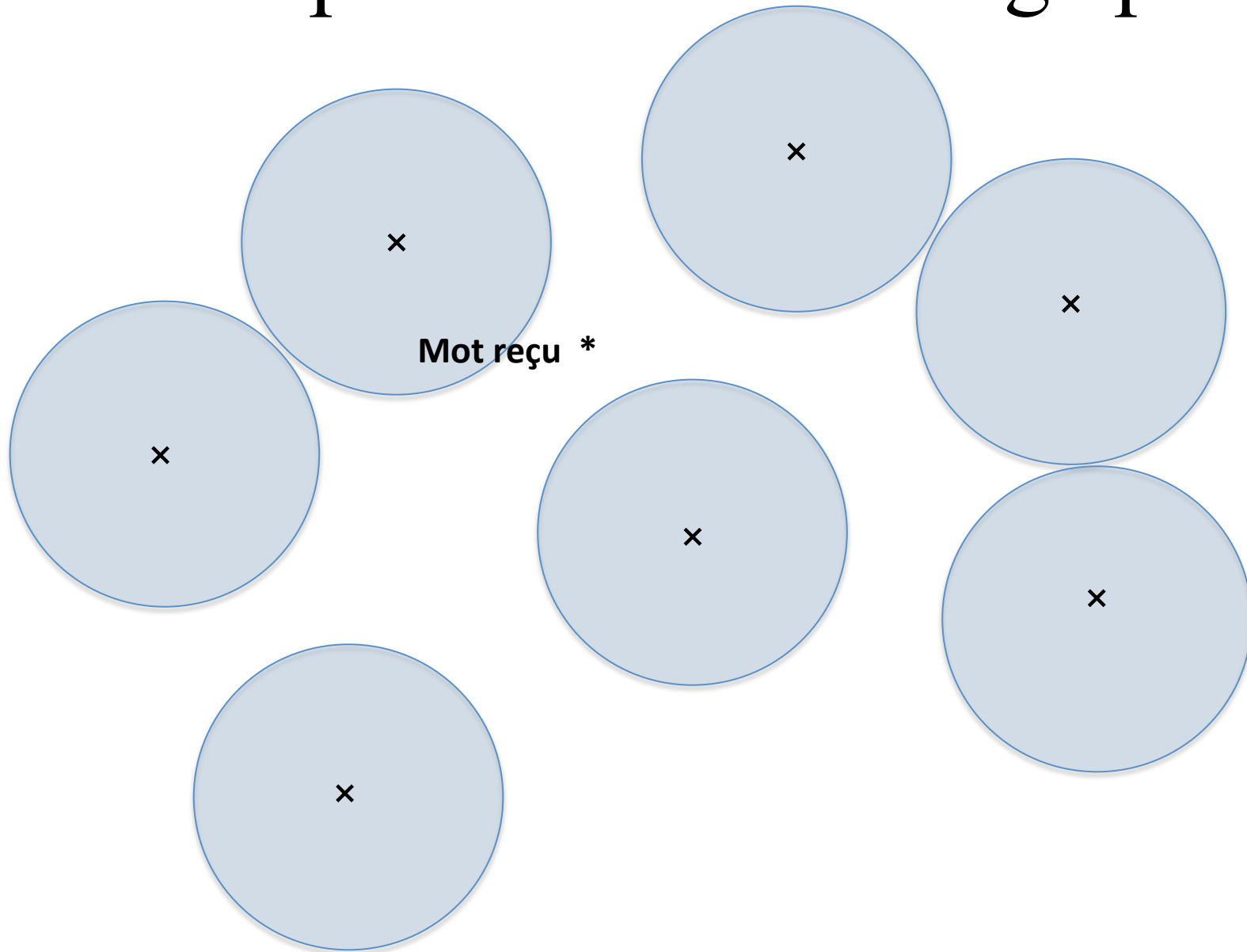
Codes par blocs



Codes par blocs



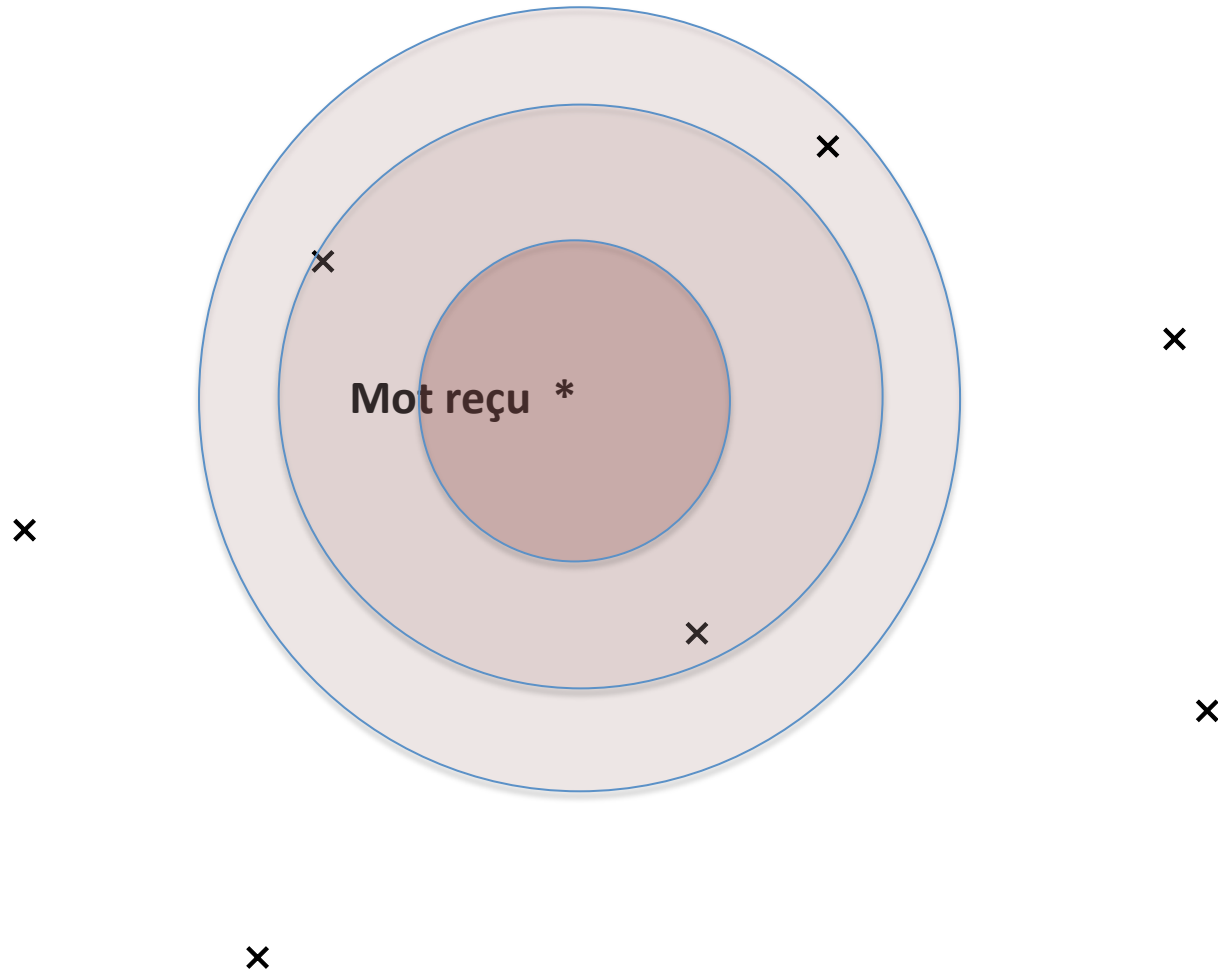
Codes par blocs – décodage par liste



Codes de Reed-Solomon et FFT

- Codage = évaluation d'un polynôme en $n = k+r$ points (FFT)
 - Redondance de r symboles
 - Mot de code $[y_0, \dots, x_{k-1}, y_k, \dots, y_{n-1}] = \Omega [x_0, \dots, x_{k-1}, 0, \dots, 0]$
- Distance « maximale » (au sens classique)
 - Avec $2r$ symboles de redondance, on corrige r erreurs
- Correction: on reçoit $z=[z_0, \dots, z_{k-1}, z_k, \dots, z_{n-1}] = y+e$ avec e de poids $\leq r$
 - $\Omega^{-1}z = \Omega^{-1}y + \Omega^{-1}e = x + \hat{e} = [x_0 + \hat{e}_0, \dots, x_{k-1} + \hat{e}_{k-1}, \hat{e}_k, \dots, \hat{e}_{n-1}]$
 - les r symboles de $\hat{e}_k, \dots, \hat{e}_{n-1}$ engendrent linéairement \hat{e} donc de calculer e

Codes par blocs – décodage par liste



Conclusion

- La DFT est une transformée « non triviale » quasi-linéaire ($n \log n$)
- Complexité algorithmique « multi-critère »
 - Nombre d'opérations, défauts cache, profondeur parallèle, ...
 - Vers de nouvelles analyses des algorithmes:
 - « Variante » simultanément optimale: #opérations, cache, profondeur parallèle
- Synthèse d'algorithme (« algorithmes adaptatifs »)
 - Nombreuses variantes, dépendants de l'architecture (ex. parallèles, GPUs)
- Importance de la DFT (via FFT et ses variantes)
 - en algorithmique « exacte » aussi
- Impact important aussi sur le calcul
 - Algorithmique quantique

Références

- **Remerciements:** Marc Tchiboukdjian, Jeremy R. Johnson
- M. T. Heideman, D. H. Johnson, C. S. Burrus, *Gauss and the history of the fast Fourier transform, IEEE ASSP Magazine 1 (4), 14–21(1984).*
- Steven G. Johnson and Matteo Frigo, "[A modified split-radix FFT with fewer arithmetic operations](#)", *IEEE Trans. Signal Processing* **55** (1), 111–119 (2007).
- Matteo Frigo and Steven G. Johnson, "[The Design and Implementation of FFTW3](#)," *Proceedings of the IEEE* **93** (2), 216–231 (2005).
- Steven G. Johnson and Matteo Frigo,, « [Implementing FFT in practice](#) » *cnx.org/content/m16336/* , 5/2011
- Franz Franchetti and Markus Püschel [Fast Fourier Transform](#) in Encyclopedia of Parallel Computing, Eds. David Padua, Springer 2011
- Markus Püschel, José M. F. Moura, Jeremy Johnson, David Padua, Manuela Veloso, Bryan Singer, Jianxin Xiong, Franz Franchetti, Aca Gacic, Yevgen Voronenko, Kang Chen, Robert W. Johnson and Nicholas Rizzolo
[SPIRAL: Code Generation for DSP Transforms](#) Proceedings of the IEEE, ``Program Generation, Optimization, and Adaptation'', Vol. 93, No. 2, pp. 232- 275, 2005
- Peter Burgiser, Michael Clausen, M. Amin Shokrollahi, Algebraic complexity theory » Springer Verlag, 1997
- Martin Fürer, "Faster integer multiplication", STOC 2007 Proceedings, pp. 57–66.

?